



## اثر محلول پاشی نانو دی اکسید تیتانیوم و سالیسیلیک اسید بر برخی ویژگی های بیوشیمیایی و تولید دانه ذرت سینگل کراس ۷۰۴ تحت رژیم های آبیاری

\* فائزه شرقی<sup>۱</sup> و ابراهیم خلیلوند بهروزیار<sup>۲</sup>

تاریخ پذیرش: ۱۳۹۸/۲/۲۵

تاریخ بازنگری: ۱۳۹۸/۲/۲۰

تاریخ دریافت: ۱۳۹۷/۱۱/۱۶

### چکیده

به منظور بررسی اثر محلول پاشی نانو ذرات دی اکسید تیتانیوم و سالیسیلیک اسید بر برخی از ویژگی های بیوشیمیایی و تولید دانه ذرت هیبرید سینگل کراس ۷۰۴ تحت رژیم های آبیاری، آزمایشی به صورت اسپلیت پلات فاکتوریل در قالب طرح بلوک های کامل تصادفی در سه تکرار در ایستگاه تحقیقاتی دانشکده کشاورزی دانشگاه آزاد اسلامی واحد تبریز در سال زراعی ۱۳۹۶-۱۳۹۷ به اجرا در آمد. عامل اصلی تنفس کمبود آب در سه سطح ۵۰، ۷۵ و ۱۰۰ درصد رطوبت قابل دسترس و ترکیب فاکتوریلی کاربرد نانو دی اکسید تیتانیوم ( $n\text{-TiO}_2$ ) (در سه سطح صفر، ۰/۰۱ و ۰/۰۳ درصد) و سالیسیلیک اسید (SA) (در دو سطح صفر و نیم درصد) به عنوان عامل فرعی در نظر گرفته شدند. بیشترین فعالیت آنزیم پراکسیداز، پلی فنل اکسیداز و کمترین فعالیت مالون دی آلدئید در اثر محلول پاشی با ۰/۵ درصد SA در شرایط آبیاری ۵۰ درصد رطوبت قابل دسترس بود. محلول پاشی با ۰/۰۱ درصد  $\text{TiO}_2$  بیشترین فعالیت آنزیم پراکسیداز و کمترین فعالیت مالون دی آلدئید را به خود اختصاص داد. در شرایط کاربرد و عدم کاربرد SA، محلول پاشی با ۰/۰۱ درصد  $\text{TiO}_2$  تاثیر مشتبه بر فعالیت آنزیم پلی فنل اکسیداز داشت. محلول پاشی با ۰/۰۱ درصد  $\text{TiO}_2$  و ۰/۵ درصد SA تحت رطوبت ۵۰ درصد رطوبت قابل دسترس نیز بیشترین مقدار کربوهیدرات های محلول و پرولین را داشت. بر اساس نتایج با افزایش سطح تنفس کمبود آب فعالیت آنزیم گایاکول پراکسیداز نیز افزایش یافت به طوری که در آبیاری ۵۰ درصد رطوبت قابل دسترس بیشترین فعالیت این آنزیم مشاهده شد. با توجه به نقش صفات مورد مطالعه در همکاری با یکدیگر در ممانعت از تولید گونه های فعال اکسیژن و کاهش اثرات مخرب تنفس کمبود آب، کاربرد سالیسیلیک اسید و نانو دی اکسید تیتانیوم با افزایش فعالیت آنزیم پراکسیداز، پلی فنل اکسیداز، مقدار کربوهیدرات های محلول، پرولین همزمان با کاهش میزان مالون دی آلدئید موجب کاهش اثرات منفی تنفس کمبود آب گردید. با توجه به این که نانو ذرات دی اکسید تیتانیوم و اسید سالیسیلیک بر آنزیم های تاثیرگذار بر فیزیولوژی گیاه اثرات مثبتی داشتند از این رو میزان تولید دانه ذرت نسبت به شاهد و شرایط کم آبیاری افزایش قابل ملاحظه ای نشان داد.

**واژگان کلیدی:** پرولین، پراکسیداز، پلی فنل اکسیداز، کربوهیدرات های محلول، گایاکول پراکسیداز.

۱- فرهیخته‌ی کارشناسی ارشد زراعت، دانشکده کشاورزی، واحد تبریز، دانشگاه آزاد اسلامی، تبریز، ایران.

۲- استادیار گروه زراعت و اصلاح نباتات، دانشکده کشاورزی، واحد تبریز، دانشگاه آزاد اسلامی، تبریز، ایران.

## مقدمه

وزنی در پوسته زمین می باشد ( Khan *et al.*, 2017). این ترکیب از جمله موادی می باشد که امروزه خواص آن مبنی بر کاهش اثرات مخرب تنش خشکی گزارش شده است (Rosi, 2018). نانو دی اکسید تیتانیوم از طریق افزایش جذب آهن باعث بهبود جذب نور و فعالیت آنزیم روبیسکو (Mingyu *et al.*, 2007)، افزایش جذب نیترات (Yang *et al.*, 2006) می شود. همچنین، با افزایش آنزیم هایی چون پراکسیداز، کاتالاز، آسکوربات پراکسیداز و سوپر اکسید دیسموتاز (Khater, 2015) و کاهش گونه های فعال اکسیژن و مالون دی آلدئید باعث کاهش اثرات منفی تنش می شود (Zheng *et al.*, 2007). مالون دی آلدئید یک محصول پراکسیداسیون اسیدهای چرب فسفو لیپیدها است. از سطح پراکسیداسیون لیپید به عنوان یک شاخص برای ارزیابی شدت بروز تنش اکسیداتیو و آسیب به غشا های بیولوژیک استفاده می شود ( Israr and Sahi, 2006). پژوهش درباره سازوکار نانو دی اکسید تیتانیوم نشان می دهد این ماده باعث کاهش گونه های فعال اکسیژن و سطح مالون دی آلدئید می شود (Hong *et al.*, 2005). در شرایط تنش، میزان فعالیت آنزیم پراکسیداز افزایش پیدا کرده و از گیاه در برابر آسیب های ناشی از گونه های فعال اکسیژن محافظت می کند ( Moussa *et al.*, 2008 and Abdel-Aziz, 2008). لی و همکاران (Lei *et al.*, 2008) گزارش کردند که کاربرد نانو دی اکسید تیتانیوم موجب کاهش اثرات اکسیداتیو در کلروپلاست اسفناج در اثر افزایش فعالیت آنزیم های آسکوربات پراکسیداز، سوپر اکسید دیسموتاز، پراکسیداز و کاتالاز می گردد. تنظیم اسمزی یکی از مهم ترین مکانیزم های تحمل به خشکی در گیاهان است که به واسطه کاهش

تنش کمبود آب یکی از مهم ترین عوامل محدود کننده محیطی است که رشد و عملکرد گیاهان زراعی را تحت تاثیر قرار می دهد (Mohammadi *et al.*, 2016) در گیاهان ارتباط سلول و آب را مختل کرده و به تبع آن فرآیندهای فیزیولوژیکی و در نهایت تولید گیاه را به شدت تحت تأثیر قرار می دهد (Aref *et al.*, 2017). تنش کمبود آب ناشی از تنش کمبود آب به این معنی می باشد که تولید گونه های فعال اکسیژن سبب آسیب رساندن به غشای سلولی و تخریب برخی از آنزیم ها می شود (Zlatev and Lidon, 2012). افزایش ترکیبات آنتی اکسیدانی یکی از مهم ترین سازوکارهای دفاعی گیاهان در برابر تنش ها می باشد. سیستم دفاع آنتی اکسیدانی شامل آنتی اکسیدان های غیر آنزیمی از جمله ترکیبات فنولی، بتاکاروتون، اسید آسکوربیک، آلفا توکوفرول، گلوتاتیون و آنزیمی شامل سوپر اکسید دیسموتاز، گایاکول پراکسیداز، آسکوربات پراکسیداز، کاتالاز، پلی فنول اکسیداز و Daneshmand, گلوتاتیون روکتاز هستند ( 2014). همکاری این اجزا با یکدیگر از تولید گونه های فعال اکسیژن ممانعت کرده و یا با جمع آوری آنها موجب کاهش اثرات مخرب این ترکیبات می شوند ( Ashraf and Iram, 2005). ورود فناوری های جدید به صنعت کشاورزی مهم ترین عامل در ایجاد کشاورزی مدرن است. در این میان فناوری نانو، زمینه مناسبی را در تولید محصولات غذایی و کشاورزی Hashemi-Dehkourdi *et al.*, (2017) فراهم آورده است ( TiO<sub>2</sub>-NPs). نانو ذره دی اکسید تیتانیوم (TiO<sub>2</sub>-NPs) مجموعه ای از اتم ها و مولکول ها با قطر بین ۱ تا ۱۰۰ نانومتر است که نهمین عنصر فراوان از نظر

صفات عملکرد دانه، برخی از اجزای مرتبط با عملکرد دانه، فعالیت آنزیم کاتالاز، اکسیداز و آسکوربات پراکسیداز معنی دار بود. شوقيان و روزبهانی (Shoghiyan and Rozbahani, 2017) در بررسی اثر محلول پاشی سالیسیلیک اسید بر صفات مورفوفیزیولوژیکی، عملکرد و اجزای عملکرد لوبیا قرمز در شرایط تنش خشکی گزارش کردند که محلول پاشی سالیسیلیک اسید سبب بهبود کلروفیل کل، پرولین و اجزای عملکرد دانه شد.

با توجه به مطالب یاد شده درباره نقش نانو دی اکسید تیتانیوم و سالیسیلیک اسید در بهبود و افزایش متابولیت‌های ثانویه، در پژوهش حاضر اثر محلول پاشی نانو ذره دی اکسید تیتانیوم و سالیسیلیک اسید بر روی برخی از ویژگی‌های بیوشیمیایی و تولید دانه ذرت هیبرید سینگل کراس ۷۰۴ تحت تنش کمبود آب بررسی شد.

### مواد و روش‌ها

این پژوهش در سال زراعی ۱۳۹۶-۱۳۹۷ در ایستگاه تحقیقاتی دانشکده کشاورزی دانشگاه آزاد اسلامی تبریز با طول جغرافیایی ۴۶ درجه و ۱۷ دقیقه شرقی، عرض جغرافیایی ۳۸ درجه و ۵ دقیقه شمالی و ارتفاع ۱۳۶۰ متر از سطح دریا بر روی بذور هیبرید سینگل کراس ۷۰۴ ذرت دانه‌ای به صورت اسپلیت پلات فاکتوریل در قالب طرح بلوك‌های کامل تصادفی در سه تکرار انجام شد. عامل اصلی تنش کمبود آب در سه سطح ۷۵، ۵۰ و ۱۰۰ درصد رطوبت قابل دسترس و ترکیب فاکتوریلی کاربرد نانو دی اکسید تیتانیوم در سه سطح صفر، ۰/۰۱ درصد (۰/۰۰۷۹ گرم در لیتر) و ۰/۰۳ درصد (۰/۰۲۳۹ گرم در لیتر) و سالیسیلیک اسید (در دو سطح صفر و نیم درصد) به عنوان عامل فرعی در نظر گرفته شدند. عملیات تهیه

پتانسیل اسمزی از طریق تجمع اسیدهای آمینه، قندها، برخی بیونهای معدنی، هورمون‌ها و پروتئین‌ها در سلول‌های گیاهی با حفظ فشار آماس به توسعه سلولی و رشد گیاه در شرایط تنش کمک می‌کند (Blumt, 2017). تجمع کربوهیدرات‌ها به عنوان تنظیم کننده‌های اسمزی نقش اصلی در متابولیسم گیاه دارند و در واکنش به تنش کمبود آب علی‌رغم کاهش اسماکلیاسیون  $\text{CO}_2$  شرکت می‌کنند (Aldesuquy et al., 2018). پرولین یکی از اسید آمینه‌های فعال در پدیده تنظیم اسمزی است که در ایجاد و حفظ فشار اسمزی درون سلولی گیاه نقش به سزایی دارد (Bundig et al., 2016). افزایش محتوای پرولین در شرایط تنش، باعث محافظت غشای سلولی، پروتئین‌ها، آنزیم‌های سیتوپلاسمی و مهار گونه‌های فعال اکسیژن و حذف رادیکال‌های آزاد می‌گردد (Yang et al., 2006).

ترکیبات فنولی به علت ویژگی آنتی اکسیدانی قوی، رادیکال‌های آزاد را به دام انداخته و گیاهان این ترکیبات را در پاسخ به برخی ترکیبات پیام رسان دارای نقش دفاعی مهم آزاد می‌کنند (Sheraphti Chaleshtari et al., 2008).

سالیسیلات (SA) یکی از تنظیم کننده‌های درونی رشد و از ترکیبات طبیعی فنولی است که در تنظیم فرآیندهای فیزیولوژیک در گیاهان مشارکت دارد (Roa et al., 2012). سالیسیلات باعث کاهش فعالیت آنزیم‌های آنتی اکسیدانی کاتالاز و آسکوربات پراکسیداز در گیاه شده و به دنبال آن افزایش تجمع مولکول‌های پراکسید هیدروژن صورت می‌گیرد (Wang and Li, 2006). سلطانی و همکاران (Soltani et al., 2013) در آزمایشی روی گیاه عدس نشان دادند که اثر محلول پاشی نانو ذرات دی اکسید تیتانیوم بر

و به آرامی فشار داخل محفظه افزایش یافت. در این آزمایش با توجه به بافت رسی خاک، این میزان فشار  $0/3$  بار در نظر گرفته شد (Khalilvand, 2017). دستگاه بهمنظور ایجاد تعادل در سیستم به مدت ۲۴ ساعت در همان حال رها گردید. پس از این مدت و زمانی که دیگر از لوله‌ها آبی خارج نمی‌شد هوای محفظه تخلیه شده و نمونه‌های خاک بلافصله در آزمایشگاه بهوسیله ترازوی حساس با دقت  $0/01$  گرم توزین شدند. سپس نمونه‌ها در دمای  $10.5$  درجه سلسیوس به مدت ۲۴ ساعت در آون قرار گرفتند. پس از توزین خاک خشک شده مقدار رطوبت وزنی خاک در حالت ظرفیت مزرعه‌ای با استفاده از فرمول زیر محاسبه و به دست آمد (Luxmore, 1990):

$$\theta_m = \frac{M_w - M_s}{M_s} \times 100$$

در این رابطه  $\theta_m$  مقدار رطوبت وزنی،  $M_w$  وزن خاک مرطوب و  $M_s$  وزن خاک خشک برحسب گرم می‌باشد. بعد از مشخص شدن رطوبت وزنی خاک در حالت ظرفیت مزرعه‌ای، مقدار رطوبت نقطه پژمردگی نیز در فشار  $15$  بار به همان ترتیب اندازه‌گیری و تفاضل رطوبت ظرفیت مزرعه‌ای و رطوبت نقطه پژمردگی، به عنوان رطوبت قابل دسترس در نظر گرفته شد (Khan et al., 2017). پس از مشخص شدن میزان رطوبت قابل دسترس، هر روز از خاک نمونه‌برداری شده و میزان رطوبت وزنی خاک تعیین و فواصل دور آبیاری در تیمارهای مختلف به دست آمد.

فعالیت آنزیم پراکسیداز: اندازه‌گیری فعالیت آنزیم پراکسیداز به روش حمدا و کلین (Hemedha and Klein, 1990) انجام شد.  $0/2$  گرم

زمین شامل سخن نیمه عمیق، دیسک و تسطیح و کرتبندی بود. هر کرت شامل چهار ردیف کاشت به طول چهار متر، فاصله بین ردیف‌ها  $75$  سانتی‌متر و فاصله بوته‌ها روی ردیف  $25$  سانتی‌متر بود. عملیات کاشت به صورت دستی و با قرار دادن  $3$  بذر در هر کپه انجام شد. در مرحله  $3$  تا  $4$  برگی، عمل تنک صورت گرفت تا نهایتاً یک بوته در هر کپه باقی بماند. به منظور رفع نیاز غذایی ذرت، مقدار  $150$  کیلوگرم در هکتار کود سرک اوره در دو نوبت همزمان با آبیاری در زمان کاشت و در مرحله  $6$  تا  $8$  برگی استفاده شد. کنترل علفهای هرز در چندین مرحله در طول فصل کشت و به صورت وجین دستی صورت گرفت. فاصله هر کرت‌های فرعی یک خط نکاشت و فاصله کرت‌های اصلی از هم دیگر به دلیل وجود تنش آبی  $3$  متر در نظر گرفته شد. محلول پاشی روی اندام هوایی سه بار طی فصل رشدی و در مراحل  $8-10$  برگی، ظهور تاسل و پر شدن دانه‌ها انجام شد.

به منظور تعیین زمان آبیاری ابتدا ظرفیت مزرعه‌ای خاک اندازه‌گیری شده و سپس شاهد بر اساس ظرفیت مزرعه‌ای و سایر تیمارها بر اساس سطوح تنش‌ها آبیاری شدند. آبیاری تا زمان اعمال تیمارها برحسب نیاز کانونی و بسته به شرایط آب و هوایی منطقه انجام و از مرحله  $8-10$  برگی به بعد با توجه به فواصل دور آبیاری تیمارها اعمال شدند. جدول ۱ مشخصات خاک مورد کشت منطقه مورد آزمایش را نشان می‌دهد.

برای تعیین ظرفیت مزرعه‌ای از دستگاه صفحه فشاری (ساخت شرکت آذر خاک ارومیه) استفاده شد. نمونه‌هایی از خاک مزرعه برداشت و اشباع شدند. نمونه‌هایی اشباع شده در دستگاه صفحه فشار روی صفحات سرامیکی قرار داده شده

مقطور عصاره‌گیری شده و محلول همگن به کمک کاغذ صافی صاف گردید. عصاره حاصل با استفاده از ۴/۷ میلی‌لیتر هیدروکسید باریم  $0/۳$  نرمال و پنج میلی‌لیتر سولفات روی پنج درصد صاف گردید. به هر لوله آزمایش یک میلی‌لیتر عصاره قندی،  $۰/۵$  میلی‌لیتر فنل پنج درصد و  $۲/۵$  میلی‌لیتر اسید سولفوریک ۹۸ درصد اضافه شد. پس از ۴۵ دقیقه و با تثبیت رنگ قهوه‌ای مایل به زرد، غلظت کربوهیدرات‌های محلول به‌وسیله میزان جذب نور با دستگاه اسپکتروفوتومتر در طول موج  $۴۸۵$  نانومتر و با توجه به منحنی استاندارد حاصل از غلظت‌های مختلف گلوکز تعیین گردید. مقدار قند نمونه بر مبنای میلی‌گرم بر گرم بافت تازه تعیین شد.

**اندازه‌گیری پرولین:** به‌منظور تعیین مقدار پرولین برگ‌ها، از روش بیتس و همکاران (Bates et al., 1973) استفاده شد. مقدار  $۰/۲$  گرم از نمونه برگ تر در  $۱۰$  میلی‌لیتر اسید سولفوسالیسیلیک  $۳$  درصد به‌وسیله هاون ساییده و عصاره حاصل در دستگاه سانتریفیوژ با دور  $۱۳۰۰۰$  دور در دقیقه در دمای  $۴$  درجه سلسیوس به مدت  $۱۵$  دقیقه سانتریفیوژ شد. سپس دو میلی‌لیتر از عصاره‌های صاف شده را به لوله‌های درب‌دار منتقل نموده و به همه لوله‌ها مقدار  $۲$  میلی‌لیتر معرف نین هیدرین و دو میلی‌لیتر اسید استیک گلاسیال اضافه گردید. پس از بستن درب لوله‌ها، به مدت یک ساعت در حمام بن ماری و در دمای  $۱۰۰$  درجه سلسیوس قرار گرفتند و بعد از سرد شدن، به هریک از لوله‌ها مقدار  $۴$  میلی‌لیتر تولوئن اضافه شد. غلظت پرولین با استفاده از دستگاه اسپکتروفوتومتر در طول موج  $۵۲۰$  نانومتر و با توجه به منحنی استاندارد تعیین شد.

نمونه تر در  $۳$  میلی‌لیتر بافر سدیم فسفات  $۲۵$  میلی‌مولار با اسیدیته  $۶/۸$  هضم شده و سپس محلول حاصل در  $۱۲۰۰۰$  دور در دقیقه به مدت  $۱۵$  دقیقه سانتریفیوژ شد. محلول رویی حاصل جهت سنجش فعالیت آنزیم پراکسیداز استفاده شد. فعالیت آنزیم با استفاده از کمپلکس واکنشی شامل عصاره آنزیمی محلول بافر فسفات، گایاکول با غلظت نهایی  $۵$  میلی‌مولار و پراکسید هیدروژن با غلظت نهایی  $۵$  میلی‌مولار در طول موج  $۴۷۰$  نانومتر سنجش گردید. از ضریب خاموشی دستگاه برای محاسبه فعالیت آنزیمی استفاده شد.

**پراکسیداسیون لیپیدهای غشاء‌یابی:** سنجش مالون دی‌آلدئید (MDA) به‌عنوان معیاری برای بررسی میزان پراکسیداسیون لیپیدهای غشاء طبق روش هیت و پاکر (Heath and Packer, 1968) صورت گرفت. بدین منظور  $۰/۲$  گرم نمونه تر برگ توزین و در هاون چینی حاوی پنج میلی‌لیتر اسید تری کلرواستیک  $۰/۱$  درصد (TCA) ساییده شد. عصاره حاصل به مدت پنج دقیقه در  $۱۰۰۰۰$  دور سانتریفیوژ شد. نسبت  $۱$  به  $۴$  از روشناور با محلول  $۲۰$  درصد از TCA حاوی  $۰/۵$  درصد اسید تیوبارتیوریک در لوله آزمایش با هم مخلوط شده و به مدت  $۳۰$  دقیقه در حمام آب گرم با دمای  $۹۵$  درجه سلسیوس قرار گرفت. سپس نمونه‌ها بلافتله در یخ سرد شده و دوباره مخلوط به مدت  $۱۰$  دقیقه در  $۱۰۰۰۰$  دور سانتریفیوژ شدند. جذب نمونه‌ها در طول موج‌های  $۵۳۲$  و  $۶۰۰$  نانومتر توسط اسپکتروفوتومتر مورد اندازه‌گیری قرار گرفته و محاسبه شد.

**اندازه‌گیری کربوهیدرات‌های محلول:** میزان کربوهیدرات‌های محلول به روش فنل-اسید سولفوریک اندازه‌گیری شد (Dubios et al., 1956).  $۰/۲$  گرم بافت برگ در  $۳$  میلی‌لیتر آب

۵ درصد مقایسه و شکل‌ها توسط برنامه EXCEL ترسیم شدند.

### نتایج و بحث

نتایج حاصل از تجزیه واریانس داده‌ها نشان داد که اثر محلولپاشی نانو دیاکسید تیتانیوم و سالیسیلیک اسید تحت سطوح مختلف تنش کمبود آب بر میزان کربوهیدرات‌های محلول، پرولین و عملکرد دانه در متر مربع معنی‌دار بود. همچنین، اثر محلولپاشی سالیسیلیک اسید تحت تنش کمبود آب بر صفات فعالیت آنزیم پراکسیداز، مالون دی‌آلدئید و پلی‌فنل اکسیداز، اثر متقابل محلولپاشی نانو دیاکسید تیتانیوم در سطوح مختلف تنش کمبود آب بر صفت پلی‌فنل اکسیداز و اثر متقابل نانو دیاکسید تیتانیوم و سالیسیلیک اسید در صفت پلی‌فنل اکسیداز معنی‌دار بودند. اثرات ساده تنش کمبود آب و محلولپاشی سالیسیلیک اسید بر صفت گایاکول پراکسیداز نیز معنی‌دار بود (جدول ۲).

محلولپاشی با ۰/۵ درصد سالیسیلیک اسید در شرایط آبیاری ۵۰ درصد رطوبت قابل دسترس بیشترین فعالیت پراکسیداز را داشت در حالی که عدم محلولپاشی در شرایط آبیاری کامل (۱۰۰ درصد رطوبت قابل دسترس) کمترین فعالیت این آنزیم را به خود اختصاص داد. بر اساس این تحقیق محلولپاشی با ۰/۵ درصد سالیسیلیک اسید، فعالیت آنزیم پراکسیداز را در تمامی تیمارها افزایش داد (شکل ۱). تنش خشکی با کوتاه کردن دوره رشد گیاه و پیری زودرس برگ، ظرفیت فتوسنترزی را تحت تأثیر قرار داده و با تولید گونه‌های فعال اکسیژن همچون پراکسید هیدروژن باعث ایجاد تنش اکسیداتیوی در سلول‌های گیاهی می‌شود که خود منجر به تخریب سامانه فتوسنترزی، مهار فرآیندهای

اندازه‌گیری آنزیم پلی‌فنل اکسیداز: سنجش فعالیت پلی‌فنل اکسیداز بر طبق روش قناتی و همکاران (Ghanati *et al.*, 2002) تعیین گردید. مخلوط واکنش، شامل ۱۰۰ میکرولیتر از عصاره‌ی آنزیمی، ۵۰۰ میکرولیتر آب اکسیژنه ۵ میلی‌مolar و ۵۰۰ میکرولیتر متیل کاتکول ۰/۰۲ مولار در ۱۹۰۰ میکرولیتر بافر پتابسیم فسفات است. افزایش در جذب در طول موج ۴۱۰ نانومتر محاسبه و فعالیت آنزیمی به میلی‌گرم بر گرم پروتئین وزن تر بر حسب تغییرات جذب در دقیقه بیان شد.

اندازه‌گیری آنزیم گایاکول پراکسیداز: برای اندازه‌گیری فعالیت آنزیم گایاکول پراکسیداز (GPX) محیط واکنش شامل بافر پتابسیم فسفات ۲۵ میلی‌مolar ( $pH = 6/8$ ) و پراکسید هیدروژن ۴۰ میلی‌مolar و گایاکول ۲۰ میلی‌مolar تهیه گردید. واکنش با افزودن ۱۰۰ میکرولیتر عصاره‌ی آنزیمی در حجم نهایی ۳ میلی‌لیتر آغاز گردید. افزایش جذب به وسیله‌ی تشکیل تراگایاکول در طول موج ۴۷۰ نانومتر به مدت ۳ دقیقه ثبت شد. سپس فعالیت آنزیم به صورت تغییرات جذب به ازای هر گرم وزن تر در دقیقه بیان گردید (Dazy *et al.*, 2008). به هنگام رسیدگی فیزیولوژیکی دانه‌ها، یعنی در زمانی که برگ‌ها و ساقه‌ها به زردی متمايل شدند، برداشت نهایی صورت گرفت. برای تعیین عملکرد دانه از ردیفهای ۲ و ۳ پس از حذف اثرات حاشیه‌ای از بالا و پایین کرت، بوته‌های باقیمانده از وسط هر کرت بریده شده و اندازه‌گیری صورت گرفت.

تجزیه واریانس و مقایسه میانگین داده‌ها با استفاده از نرمافزار MSTATC انجام گرفت. میانگین‌ها با کاربرد آزمون دانکن در سطح احتمال

می‌تواند نمایانگر القای سیستم دفاع آنتی‌اکسیدانتی به‌وسیله سالیسیلیک اسید، با از بین بردن گونه‌های فعال اکسیژن به‌طور مستقیم و یا توسط آنزیم‌های آنتی‌اکسیدانت باشد، که خسارت‌های ناشی از این گونه‌های فعال در نتیجه پراکسیداسیون لیپیدی غشاء را کاهش دهد (Hayat *et al.*, 2007) بر اساس یک تحقیق، کاربرد نانو ذرات دی‌اکسید تیتانیوم، محتوای پراکسید هیدروژن و مالون دی‌آلدئید را در گیاه کتان کاهش داد (Amirjani *et al.*, 2014).

پلی فنل اکسیداز در سلول‌های گیاهی نقش مهمی در اکسیداسیون فنل‌ها به کثینون‌ها و تشکیل لیگنین دارد. این آنزیم در واکنش‌های دفاعی و فوق حساسیت گیاه در مقابل ویروس‌ها، باکتری‌ها و قارچ‌ها دخالت دارد. نقش کثینون‌ها در مقاومت گیاهان به عوامل بیماری‌زا ثابت شده است (Mohammadi *et al.*, 2002). اهمیت پلی فنل اکسیداز به‌دلیل وجود هماهنگی در تنظیم میزان فعالیت پلی‌فنل اکسیداز و سنتز فنیل پروپانوئید می‌باشد. وقتی که سلولی آسیب می‌بیند در نتیجه فعالیت این آنزیم، ترکیبات فنلی به کثینون تبدیل و در القا مرگ برنامه‌ریزی شده سلولی مؤثر می‌باشد و همچنین، ترکیبات فنلی پلیمریزه شده را برای جلوگیری از آسودگی‌های (Newman *et al.*, 2011) بعدی مهیا می‌سازد (Mazarie *et al.*, 2019).

محلول‌پاشی با ۰/۵ درصد سالیسیلیک اسید در شرایط آبیاری ۵۰ درصد رطوبت قابل دسترس بیشترین فعالیت آنزیم پلی‌فنل اکسیداز را داشت در حالی که عدم محلول‌پاشی در شرایط آبیاری کامل کمترین فعالیت این آنزیم را دارا بود (شکل ۵). همچنین تحت شرایط آبیاری ۵۰ درصد رطوبت قابل دسترس، محلول‌پاشی با ۰/۱ درصد نانو دی‌اکسید تیتانیوم فعالیت آنزیم پلی‌فنل

متabolیکی، پراکسیداسیون لیپیدها، تغییر در نفوذپذیری غشا و نشت یون‌های گردد (Gregersen *et al.*, 2013) (Sunkar, 2010). پراکسیدازها از مهم‌ترین آنزیم‌های دخیل در فرآیند جمع‌آوری و خنثی‌سازی گونه‌های فعال اکسیژن است (Hamidzadeh Moghadam *et al.*, 2015). سالیسیلیک اسید به‌طور مستقیم یا غیرمستقیم آنزیم‌های آنتی‌اکسیدانت از جمله پراکسیدازها را فعال می‌کند که می‌تواند به عنوان یک سوبسترای دهنده الکترون برای پراکسیدازها عمل نماید (Mazarie *et al.*, 2019).

اساس نتایج، محلول‌پاشی با ۰/۱ درصد نانو دی‌اکسید تیتانیوم بیشترین و عدم محلول‌پاشی با این ترکیب کمترین میزان فعالیت آنزیم پراکسیدازها را داشت (شکل ۲).

هزاری و همکاران (Mazarie *et al.*, 2019) افزایش آنزیم‌های پراکسیداز و گایاکول پراکسیداز را در اثر کاربرد نانو دی‌اکسید تیتانیوم در گیاه مریم گلی گزارش کردند.

کمترین میزان آنزیم مالون دی‌آلدئید در تیمار محلول‌پاشی با ۰/۰۵ درصد سالیسیلیک اسید تحت شرایط آبیاری ۵۰ درصد رطوبت قابل دسترس بود (شکل ۳). نتایج همچنین نشان داد که محلول‌پاشی با ۰/۱ نانو دی‌اکسید تیتانیوم کمترین میزان آنزیم مالون دی‌آلدئید را داشت، در حالی که با افزایش غلظت نانو دی‌اکسید تیتانیوم این مقدار افزایش نشان داد (شکل ۴). از آنجایی که افزایش فعالیت آنزیم پراکسیداز در ارتباط با میزان پراکسیداسیون لیپیدهای غشایی است، کاهش میزان مالون دی‌آلدئید در گیاهان تحت تیمار، نشان‌دهنده کفایت سطح فعالیت آنزیم پراکسیداز در جمع‌آوری گونه‌های فعال اکسیژن جهت جلوگیری از آسیب به غشاء می‌باشد. کاهش آسیب غشای سلولی در پاسخ به سالیسیلیک اسید

محلولپاشی با  $0/0\text{۱}$  درصد نانو دیاکسید تیتانیوم و  $0/5$  درصد سالیسیلیک اسید تحت رطوبت  $50$  درصد رطوبت قابل دسترس بیشترین مقدار کربوهیدرات های محلول و پرولین را داشت. در بحث کربوهیدرات های محلول بر اساس جدول  $3$ ، تیماری که بیشترین مقدار کربوهیدرات های را داشت با تیمارهای محلولپاشی با  $0/0\text{۳}$  درصد نانو دیاکسید تیتانیوم و  $0/5$  درصد سالیسیلیک اسید تحت رطوبت  $50$  درصد، محلولپاشی با  $0/0\text{۱}$  و  $0/0\text{۳}$  درصد نانو دیاکسید تیتانیوم و عدم مصرف سالیسیلیک اسید اختلاف معنی داری نداشت. بر اساس جدول  $3$ ، تیماری که بیشترین مقدار پرولین را داشت با تیمارهای محلولپاشی با  $0/0\text{۱}$  درصد نانو دیاکسید تیتانیوم و  $0/5$  درصد سالیسیلیک اسید تحت رطوبت  $75$  درصد قابل دسترس و محلولپاشی با  $0/0\text{۳}$  درصد نانو دیاکسید تیتانیوم و  $0/5$  درصد سالیسیلیک اسید تحت رطوبت  $50$  درصد رطوبت قابل دسترس اختلاف معنی داری نداشت. عدم محلولپاشی این ترکیبات در  $100$  درصد رطوبت قابل دسترس نیز کمترین مقدار کربوهیدرات های محلول و پرولین را به خود اختصاص داد (جدول  $3$ ). سالیسیلیک اسید از طریق تأثیر بر آنزیم های هیدرولیز کننده پلی ساکاریدها منجر به افزایش مقدار قندها شده یا اینکه تشکیل قندهای محلول از پلی ساکاریدها را تسريع می نماید (Khodary, 2004). همچنین، قندها در گیاهان می توانند فعالیت آنتی اکسیدانتی (Lang-Mladek *et al.*, 2010) داشته باشند (Sugio *et al.*, 2009). پرولین از دیگر تنظیم کننده های اسمزی تحت تنش های محیطی می باشد که در

اکسیداز را افزایش داد که این تیمار اختلاف معنی داری با محلولپاشی با  $0/0\text{۳}$  درصد نانو دیاکسید تیتانیوم نداشت در حالی که آبیاری کامل و عدم کاربرد نانو دیاکسید تیتانیوم فعالیت این آنزیم را کاهش داد. در شرایط آبیاری کامل محلولپاشی با نانو دیاکسید تیتانیوم اختلاف معنی داری با شاهد نداشت (شکل  $6$ ). با توجه به شکل  $7$  مشاهده می شود که محلولپاشی با  $0/0\text{۱}$  درصد نانو دیاکسید تیتانیوم تاثیر مثبتی بر فعالیت آنزیم پلی فنل اکسیداز در شرایط کاربرد و عدم کاربرد سالیسیلیک اسید داشته است. بیشترین فعالیت این آنزیم در شرایط محلولپاشی با  $0/0\text{۱}$  درصد نانو دیاکسید تیتانیوم و  $0/5$  درصد سالیسیلیک اسید بود و اختلاف معنی داری با محلولپاشی با  $0/0\text{۱}$  درصد نانو دیاکسید تیتانیوم و  $0/5$  درصد سالیسیلیک اسید نداشت. گایاکول پراکسیداز، از مهم ترین گروه های پراکسیدازها است که گایاکول به عنوان تامین کننده پتانسیل هیدروژن عمل می کند. واکنش گایاکول با پراکسید هیدروژن به تولید ترکیبی Amiri *et al.*, 2011 نتایج نشان داد که با افزایش سطح تنش کمبود آب سطح فعالیت آنزیم گایاکول پراکسیداز نیز افزایش می یابد به طوری که در آبیاری  $50$  درصد رطوبت قابل دسترس بیشترین و در شرایط آبیاری کامل کمترین سطح فعالیت این آنزیم وجود داشت (شکل  $8$ ). بررسی اثر تنش خشکی بر آنزیم های آنتی اکسیدان گیاه کلزا نشان داد که تنش خشکی سبب افزایش فعالیت در چندین آنزیم آنتی اکسیدان از جمله گایاکول پراکسیداز می شود. افزایش گایاکول پراکسیداز می تواند عاملی مهم برای تجزیه پراکسید هیدروژن باشد (Abedi and Pakniyat, 2012).

محلول پاشی نانو ذرات دی اکسید تیتانیوم بر خصوصیات گندم تحت شرایط تنفس خشکی گزارش شده که بالاترین میزان عملکرد دانه در آبیاری معمولی مربوط به مرحله گلدهی و غلظت ۰/۰۲ درصد دی اکسید تیتانیوم بود و بالاترین میزان عملکرد دانه در تنفس خشکی مربوط به مرحله ساقدهی و غلظت ۰/۰۲ درصد دی اکسید تیتانیوم بود (Jaberzadeh *et al.*, 2010).

### نتیجه‌گیری کلی

نتایج این پژوهش نشان داد که محلول پاشی با ۰/۵ درصد سالیسیلیک اسید در شرایط آبیاری ۵ درصد رطوبت قابل دسترس موجب افزایش ۵۱ درصدی فعالیت آنزیم پراکسیداز، ۲/۱ برابری پلی فنل اکسیداز و کاهش ۲۴ درصدی فعالیت مالون دی‌آلدئید شد. همچنین، محلول پاشی با ۰/۰۱ درصد نانو دی اکسید تیتانیوم بیشترین فعالیت آنزیم پراکسیداز و کمترین فعالیت مالون دی‌آلدئید را به خود اختصاص داد به طوری که موجب افزایش ۲۱ درصدی فعالیت آنزیم پراکسیداز و کاهش ۱۱ درصدی آنزیم مالون دی‌آلدئید شد. افزایش فعالیت آنزیم پراکسیداز و کاهش میزان مالون دی‌آلدئید در شرایط کاربرد سالیسیلیک اسید و نانو دی اکسید تیتانیوم نشان دهنده افزایش نقش این دو آنزیم در جهت جلوگیری از آسیب به غشاء می‌باشد. در شرایط کاربرد و عدم کاربرد سالیسیلیک اسید، محلول پاشی با ۰/۰۱ درصد نانو دی اکسید تیتانیوم تاثیر مثبتی بر فعالیت آنزیم پلی فنل اکسیداز داشت. محلول پاشی با ۰/۰۱ درصد نانو دی اکسید تیتانیوم و ۰/۵ درصد سالیسیلیک اسید تحت رطوبت ۵۰ درصد رطوبت قابل دسترس نیز بیشترین مقدار کربوهیدرات‌های محلول و پرولین را داشت. بر اساس نتایج، با افزایش سطح تنفس

تعداد زیادی از گونه‌های گیاهی، همبستگی بالایی با تحمل به تنفس‌ها ایفا می‌کند (Azarpanah *et al.*, 2013). تجمع پرولین در گیاهان تحت تنفس به واسطه سنتز پرولین و غیرفعال شدن تخریب آن تحت تأثیر نانو دی اکسید تیتانیوم می‌باشد (Abdel Latef *et al.*, 2017).

محلول پاشی با نانو دی اکسید تیتانیوم در تمامی تیمارها موجب افزایش عملکرد دانه در متر مربع شد به طوری که کاربرد ۰/۰۱ درصد نانو دی اکسید تیتانیوم بدون کاربرد اسید سالیسیلیک در شرایط آبیاری کامل ۳۱ درصد عملکرد دانه را نسبت به شاهد و ۹۲ درصد نسبت به عدم کاربرد نانو دی اکسید تیتانیوم و اسید سالیسیلیک تحت آبیاری ۵۰ درصد رطوبت قابل دسترس که کمترین تیمار را به خود اختصاص داده بود افزایش داد. در شرایط آبیاری کامل، با توجه به باز بودن بیشتر روزنه‌ها و تأثیر مثبتی که نانو ذرات دی اکسید تیتانیوم در بهبود جذب نور و فعالیت آنزیمهای مؤثر در فرایند فتوسنتر دارند، در نتیجه افزایش قابل توجهی در عملکرد دانه ایجاد شد. محلول پاشی نانو ذرات دی اکسید تیتانیوم با غلظت ۰/۰۱ درصد در شرایط تنفس خشکی نسبت به عدم کاربرد دی اکسید تیتانیوم در همین شرایط عملکرد دانه را ۴۷/۳ درصد افزایش داد (جدول ۳). در اثر کمبود آب حجم سلول، تقسیم سلولی، دیواره‌سازی سلول، اندازه کلی گیاه و وزن تر و خشک گیاه به عنوان ملاک‌های کلی رشد اغلب کاهش می‌یابند. یکی از اولین نشانه‌های کمبود آب، کاهش تورژسانس و در نتیجه کاهش رشد و توسعه سلول به خصوص در ساقه و برگ‌ها است. نانو ذرات دی اکسید تیتانیوم اثر افزایشی بر سرعت فتوسنتر دارد و باعث افزایش رشد می‌شود (Yang *et al.*, 2006). در بررسی اثرات

فعالیت آنزیم های مؤثر در فرایند فتوسنتر داشت، در نتیجه افزایش قابل توجهی در عملکرد دانه نسبت به شاهد و شرایط عدم مصرف و کم آبیاری ایجاد شد.

كمبود آب فعالیت آنزیم گایاکول پراکسیداز نیز افزایش یافت به طوری که در آبیاری ۵۰ درصد رطوبت قابل دسترس بیشترین فعالیت این آنزیم مشاهده شد. در تحقیق حاضر با توجه به تأثیر مثبتی که نانو ذرات دی اکسید تیتانیوم در بهبود

جدول ۱- مشخصات خاک مزرعه مورد آزمایش

**Table1-** Soil physical and chemical analysis

رس (Clay) %	سیلت (Silt) %	شن (Sand) %	پتاسیم (K) ppm	فسفر (P) ppm	نیتروژن (N) %	کربن (C) %	هدایت الکتریکی (EC) dsmm <sup>-1</sup>	pH
14	18	68	600	48	0.133	0.92	1.57	7.8-8.9

جدول ۲ - تجزیه واریانس صفات ذرت تحت تأثیر تنش کمبود آب، محلول پاشی نانو دی اکسید تیتانیوم و اسید سالیسیلیک

**Table2-** The analysis of variance traits of mays under water deficit stress, TiO<sub>2</sub> and salicylic acid

منابع تغییر S.O.V	درجه آزادی df	میانگین مربعات							
		پراکسیداز Peroxidase	مالون دی آلدئید Malon dialdehyde	کربوهیدرات های محلول soluble carbohydrates	پرولین Proline	پلی فنل اکسیداز Polyphenol oxidase	گایاکول پراکسیداز guaiacol peroxidase	عملکرد دانه Seed yield	
بلوک REP	2	0.001**	2.17 <sup>ns</sup>	0.689 <sup>ns</sup>	2.36**	0.008 <sup>ns</sup>	0.012**	<sup>ns</sup> 172	
WDS تنش کمبود آب	2	0.004**	4.1*	72**	2.76**	0.16**	0.056**	121446**	
1 ERROR1 خطای ۱	4	0.000024	0.486	0.357	0.098	0.002	0.0002	411	
اسید سالیسیلیک SA SA×WDS	1	0.003**	3.95**	9.29**	5.2**	0.054**	0.014*	50585**	
تنش × اسید سالیسیلیک	2	0.00018**	1.59**	0.141 <sup>ns</sup>	0.22 <sup>ns</sup>	0.013**	0.001 <sup>ns</sup>	5947**	
TiO <sub>2</sub> نانو دی اکسید تیتانیوم	2	0.002**	2.56**	6.4**	2.17**	0.034**	0.004 <sup>ns</sup>	49696**	
TiO <sub>2</sub> ×WDS تنش × تیتانیوم	4	0.002 <sup>ns</sup>	0.393 <sup>ns</sup>	0.932**	0.366**	0.011**	0.001 <sup>ns</sup>	3124**	
TiO <sub>2</sub> ×SA سالیسیلیک × تیتانیوم	2	0.000006 <sup>ns</sup>	0.067 <sup>ns</sup>	1.72**	0.204 <sup>ns</sup>	0.005**	0.00004 <sup>ns</sup>	20834**	
TiO <sub>2</sub> ×SA×WDS تنش × سالیسیلیک × تیتانیوم	4	0.00003 <sup>ns</sup>	0.143 <sup>ns</sup>	1.53**	0.323*	0.001 <sup>ns</sup>	0.001 <sup>ns</sup>	3191*	
ERROR2 خطای ۲	30	0.00001	0.194	0.211	0.085	0.001	0.002	740	
ضریب تغییرات CV%		4.05	7.27	6.66	9.75	8.72	19.03	4.52	

\*, \*\* به ترتیب غیر معنی دار، معنی دار در سطح احتمال ۰/۱ و ۰/۵ ns

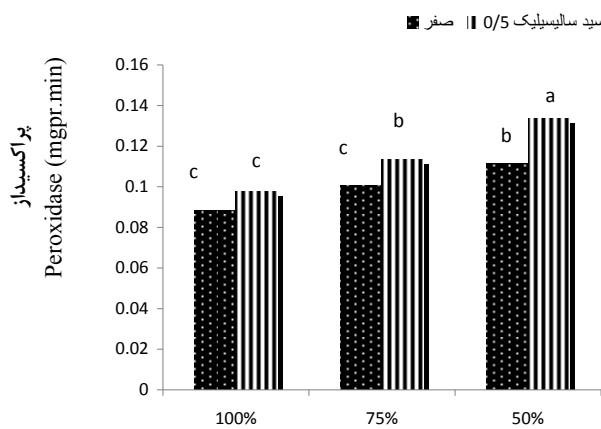
ns, \* and \*\* : Non significant, significant at 5% and 1% respectively,

WDS: Water Deficit Stress, SA: Salicylic Acid, TiO<sub>2</sub>: Nano Dioxide Titanium

جدول ۳- اثر محلول پاشی نانو دی اکسید تیتانیوم و اسید سالیسیلیک در سطوح تنش کمبود آب بر صفات مورد مطالعه

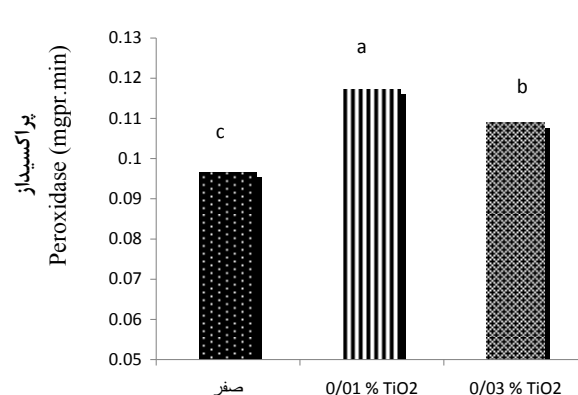
**Table3-** Effect of  $\text{TiO}_2$  and salicylic acid under water deficit stress on traits of study

تنش کمبود آب Water deficit stress	اسید سالیسیلیک Salicylic acid	نانو دی اکسید تیتانیوم $\text{TiO}_2$	کربوهیدرات های محلول Soluble carbohydrates mg/ g FW	پروولین Prolin $\mu\text{mole/g}$	عملکرد دانه Seed yield g m <sup>-2</sup>
۱۰۰ درصد رطوبت قابل دسترس 100 % FC	صفر 0	0	4.489i	2.100e	620.8cd
		0/01	4.496i	2.570cde	817.6a
		0/03	4.624i	2.540cde	761.9a
	۰/۵ درصد 0.5	0	4.616i	2.903bc	635.4bcd
		0/01	5.924gh	2.750bc	700.7b
		0/03	5.055hi	2.650cd	642.4bc
	درصد رطوبت قابل دسترس 75 % FC	0	5.230hi	2.183de	595.4cde
		0/01	7.363ef	2.857bc	698.4b
		0/03	6.946efg	2.843bc	597cde
۵۰ درصد رطوبت قابل دسترس 50 % FC	صفر 0	0	7.747de	2.893bc	529.8efg
		0/01	7.835cde	4.077a	570.2d-g
		0/03	6.392fg	3.097bc	522.2fg
	۰/۵ درصد 0.5	0	6.996efg	2.650cd	424.2h
		0/01	9.257ab	3.267b	626.3cd
		0/03	8.90abc	3.077bc	588.1c-f
	۰/۵ درصد 0.5	0	8.625bcd	2.913bc	525.8fg
		0/01	9.981a	4.367a	547.7efg
		0/03	9.599ab	3.937a	504.6g



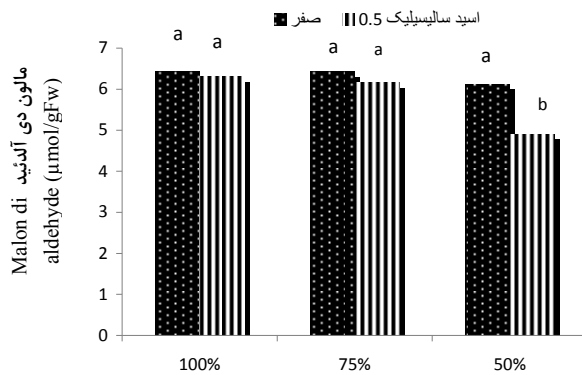
شکل ۱- اثرات محلول پاشی اسید سالیسیلیک تحت تنش کمبود آب بر فعالیت آنزیم پر اکسیداز

**Figure1-** Effects of salicylic acid foliar application under water deficit stress on peroxidase activity



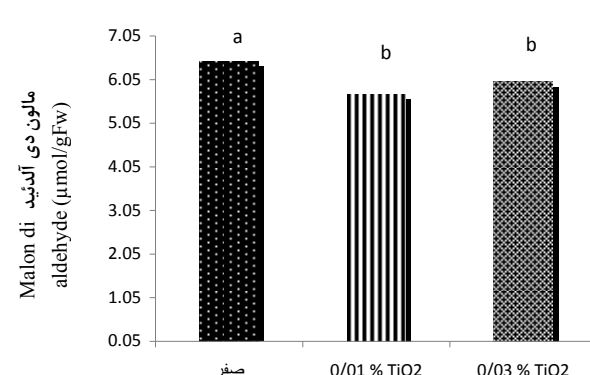
شکل ۲- اثرات محلول پاشی نانو دی اکسید تیتانیوم بر فعالیت آنزیم پر اکسیداز

**Figure2-** Effects of  $\text{TiO}_2$  foliar application under water deficit stress on peroxidase activity



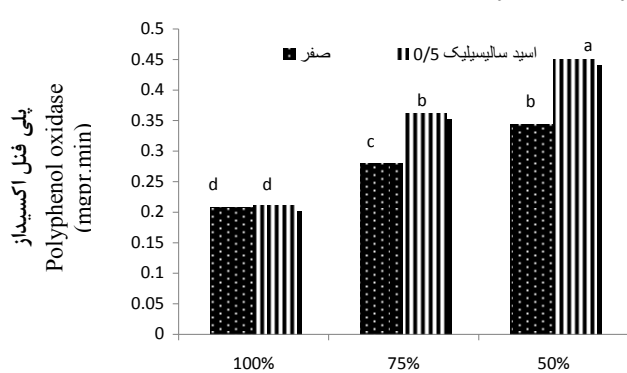
شکل ۳- محلول پاشی اسید سالیسیلیک تحت تنش کمبود آب بر فعالیت مalon دی آلدئید

**Figure3-** Salicylic acid foliar application under water deficit stress on malondialdehyde activity



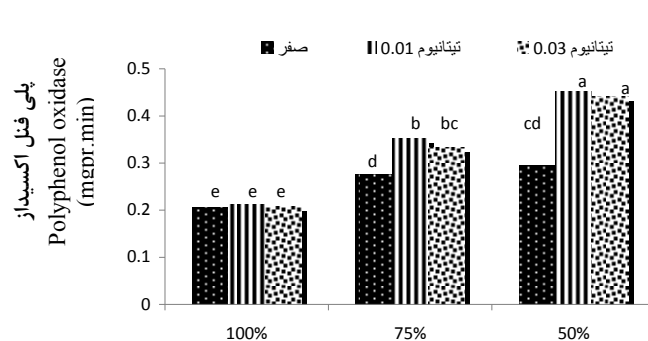
شکل ۴- اثر محلول پاشی نانو دی اکسید تیتانیوم بر فعالیت مalon دی آلدئید

**Figure4-** Effect of  $\text{TiO}_2$  foliar application on malondialdehyde activity



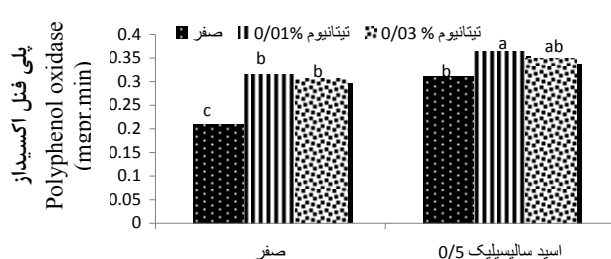
شکل ۵- اثرات محلول پاشی اسید سالیسیلیک تحت تنش کمبود آب بر فعالیت آنزیم پلی فنل اکسیداز

**Figure5-** Effects of salicylic acid foliar application under water deficit stress on polyphenol oxidase activity



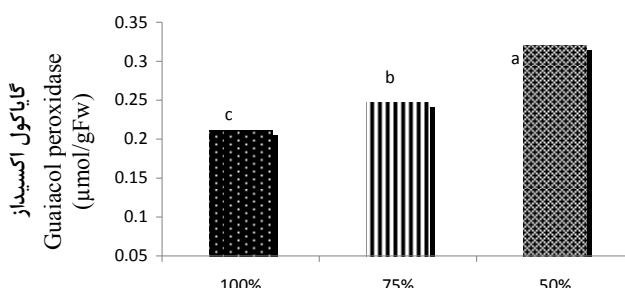
شکل ۶- اثرات محلول پاشی نانو دی اکسید تیتانیوم تحت تنش کمبود آب بر فعالیت آنزیم پلی فنل اکسیداز

**Figure6-** Effects of  $\text{TiO}_2$  foliar application under water deficit stress on polyphenol oxidase activity



شکل ۷- اثرات محلول پاشی نانو دی اکسید تیتانیوم و اسید سالیسیلیک بر فعالیت آنزیم پلی فنل اکسیداز

**Figure7-** Effects of  $\text{TiO}_2$  foliar application under water deficit stress on polyphenol oxidase activity



شکل ۸- اثرات تنش کمبود آب بر فعالیت آنزیم گایاکول پر اکسیداز

**Figure8-** Effects of water deficit stress on guaiacol peroxidase activity

## منابع مورد استفاده

## References

- Abdel Latef, A.A.H., A.K. Srivastava, M.S., Abd El-Sadek, M. Kordrostami, and L.P. Tran. 2017. Titanium dioxide nanoparticles improve growth and enhance tolerance of broad bean plants under saline soil conditions. *Land Degradation and Development.* 29(4): 1065-1073.
- Abedi, T., and H. Pakniyat. 2012. Antioxidant enzyme changes in response to drought stress in ten cultivar of oil seed rap (*Brassica napus* L.). *Genetics and Plant Breeding.* 46(4): 27-34.
- Aldesuquy, H.S., M.A. Abass, S.A. Abo-Hamed, and A.H. Elhakem. 2013. Does glycine betaine and salicylic acid ameliorate the negative effect of drought on wheat by regulating osmotic adjustment through solutes accumulation? *Journal of Stress Physiology and Biochemistry.* 9(3): 5-22.
- Amirjani, M. R., M. Askari, and P. Askari. 2014. The effect nano oxide zinc on the amount of alkaloids, enzymatic and nonenzymatic antioxidants and some indicators of physiology *Catharanthus roseus. Cells and Tissues Journal.* 5(2): 173-183. (In Persian).
- Amiri, A., S.R. Parsa, M. Nezami, and A. Ganjeali. 2011. The effects of drought stress at different phonological stages on growth indices of chickpea (*Cicer arietinum* L.) in greenhouse conditions. *Pulses Research* 1: 69-84. (In Persian).
- Aref, I., H. El Atta, M. El Obeid, A. Ahmed, P. Khan, and M. Iqbal. 2013. Effect of water stress on relative water and chlorophyll contents of *Juniperus procera* Hochst. ex Endlicher in Saudi Arabia. *Life Science Journal.* 10(4): 681–685.
- Ashraf, M., and A. Iram. 2005. Drought stress induced changes in some organic substances in nodules and other plant parts of two potential legumes differing in salt tolerance. *Flora.* 200: 446-535
- Azarpanah, A., O. Alizadeh, and H. Dehghanzadeh. 2013. Investigation on proline and carbohydrates accumulation in *Zea mays* L. under water stress condition. Extreme life, biospeleology and asterobiology. *International Journal of the Bioflux Society.* 5 (1): 47-54.
- Blum, A. 2017 Osmotic adjustment is a prime drought stress adaptive engine in support of plant production: Osmotic adjustment and plant production. *Plant Cell Environment.* 40, 4–10.
- Bundig, C., T.H. Vu, P. Meise, S. Seddig, A. Schum, T. Winkelmann. 2016. Variability in Osmotic Stress Tolerance of Starch Potato Genotypes (*Solanum tuberosum* L.) as Revealed by an In Vitro Screening: Role of Proline, Osmotic Adjustment and Drought Response in Pot Trials. *Journal of Agronomy and Crop Science.* 203, 206–218.
- Daneshmand, F. 2014. Response of antioxidant system of tomato to water deficit stress and its interaction with ascorbic acid. *Iranian Journal of Plant Biology.* 6(19): 57-72. (In Persian).
- Dazy, M., V. Jung, J. Ferard, and J. Masfaraud. 2008. Ecological recovery of vegetation on a coke-factory soil: Role of plant antioxidant enzymes and possible implication in site restoration. *Chemosphere.* 74: 57-63.

- Dubios, M., K.A. Gilles, J.K. Hamilton, P.A. Rebers, and F.S. Ith. 1956. Calorimetric method for determination of sugars and related substances. *Chemosphere*. 28: 350-356.
- Ghanati, F., A. Morita, and H. Yokota. 2002. Induction of suberin and increase of lignin content by excess boron in Tobacco cell. *Soil Science, Plant Nutrition*. 48(3): 357-364.
- Gregersen, P.L., A. Culetic, L. Boschian, and K. Krupinska. 2013. Plant senescence and crop productivity. *Plant Molecular Biology*. 82: 603–622.
- Hashemi-Dehkourdi, E., M. Mousavi, N. Moallemi, and M.H. Ghafariyan-Moghareb. 2017. Effect of nanoparticles of titanium dioxide (anatase) on physiological characteristics of strawberry (*Fragaria ananassa* c.v.Queen Elisa) in hydroponic condition. *Journal of Plant Process and Function*. 5(16): 1-8. (In Persian).
- Hamidzadeh Moghadam, S.H., S. Jahanbakhsh Godekahriz, and A. Ebadi. 2015. Salicylic acid effect on variation of carbohydrate content, total protein and antioxidant enzymes during programmed cell death in two wheat cultivars. *Journal of Crop Production*. 7(2): 97-112. (In Persian).
- Hayat, S., and A. Ahmad. 2007. Salicylic acid: A plant hormone. Springer, Dordrecht, Netherlands Pp: 97-99
- Heath, R.L., and L. Packer. 1968. Photoperoxidation in isolated chloroplasts: I. Kinetics and stoichiometry of fatty acid peroxidation. *Archives of Biochemistry and Biophysics*. 125: 189–198.
- Hemedia, H.M., and B.P. Klein. 1990. Effects of naturally occurring antioxidants on peroxidase activity of vegetable extracts. *Journal of Food Science*. 55: 184–185.
- Israr, M., and S.V. Sahi. 2006. Antioxidative responses to mercury in the cell cultures of *Sesbania drummondii*. *Plant Physiology Biochemical*. 44: 590-595
- Hong, F., J. Zhou, C. Liu, F. Yang, C. Wu, L. Zheng, and P. Yang. 2005. Effects of nano TiO<sub>2</sub> on photochemical reaction of chloroplasts of Spinach. *Journal Biological Trace Element Research*. 105: 269-279.
- Jaberzadeh, A., Moaveni, P., Tohidi Moghadam, H., Moradi, A., 2010. Effect of nano titanium dioxide particles spraying on some agronomy traits of wheat under drought stress condition. *Crop Ecophysiology*. 2(4), 259-301. (In Persian).
- Khalilvand Behrouzyar, E. 2017. Effect of seed priming with ethanol, methanol, boron and manganese on some of morpho-physiological characteristics of rapeseed (*Brassica napus* L.) under water deficit stress. *Journal of Crop Ecophysiology*. 11(4): 805-820. (In Persian).
- Khan, M.N., M. Mobin, Z.K. Abbas, K.A. AlMutairim, and Z.H. Siddiqui. 2017. Role of nanomaterials in plants under challenging environments. *Plant Physiology and Biochemistry*. 110: 194–209.
- Khater, M.S. 2015. Effect of titanium nanoparticles (TiO<sub>2</sub>) on growth, yield and chemical constituents of coriander plants. *Arab Journal of Nuclear Science and Applications*. 48(4): 187-194
- Khodary, S.E.A. 2004. Effect of salicylic acid on the growth, photosynthesis and carbohydrate metabolism in salt stressed maize plants. *International Journal of Agriculture and Biology*. 6: 5-8.

- Lang-Mladek, C., O. Popova, K. Kiok, M. Berlinger, B. Rakic, and W. Aufastez. 2010. Transgenerational inheritance and resetting of stress-induced loss of epigenetic in *Arabidopsis*. *Molecular Plant*. 3: 594-602.
- Lei, Z., S. Mingyu, W. Xiao, L. Chao, Q. Chunxiang, C. Liang, H. Hao, L. Xiao-qing, and H. Fashui. 2008. Antioxidant stress is promoted by nano-anatase in spinach chloroplasts under UV-B radiation. *Biological Trace Element Research*. 121: 69–79
- Luxmore, B. 1990. Methods of soil Analysis. Part II, 3th Edition, pp.493-59.
- Mohammadi, H., M. Esmailpour, and A. Gheranpaye. 2017. Effects of TiO<sub>2</sub> nanoparticles and water deficit stress on morpho-physiological characteristics of dragonhead (*Dracocephalum moldavica* L.) plants. *Acta Agriculturae Slovenica*. 107(2): 385-396.
- Mohammadi, M., and H. Kazemi. 2002. Changes in peroxidase and polyphenol oxidase activities in susceptible and resistant wheat heads inoculated with *Fusarium graminearum* and induced resistance. *Plant Science*. 162: 491-498.
- Moussa, H., and S.M. Abdel-Aziz. 2008. Comparative response of drought tolerant and drought sensitive maize genotypes to water stress. *Australian Journal of Crop Science*. 1: 31-36.
- Mazarie, A., S.M. Mousavi-nik, A. Ghanbari, and L. Fahmideh. 2019. Effect of different spraying concentrations of jasmonic acid and titanium dioxide nanoparticles on some physiological traits and antioxidant system activity of Sage (*Salvia officinalis* L.). *Iranian Journal of Plant Biology*. 11(1): 1-22. (In Persian).
- Newman, S., D. Tantasawat, and J. Steffens. 2011. Tomato polyphenol oxidase B is spatially and temporally regulated during development. *Molecules*. 6: 493-517
- Rao, S.R., A. Qayyum, A. Razzaq, M. Ahmad, I. Mahmood, and A. Sher. 2012. Role of foliar application of salicylic acid and L-Tryptophan in drought tolerance on maize. *The Journal of Animal and Plant Sciences*. 22(3): 768-772.
- Rosi, H.S. 2018. Kalyanasundaram, synthesis, characterization, structural and optical properties of titanium-dioxide nanoparticles using *Glycosmis cochinchinensis* leaf extract and its photocatalytic evaluation and antimicrobial properties. *World News of Natural Sciences*. 17: 1-15.
- Sheraphti chaleshtari, F., R. Sheraphti chaleshtari, and M. Momeni. 2008. The antimicrobial effects of aqueous extract and ethanol plant *Scrophularia striata* on E. coli in Laboratory. *Journal of Medical Sciences* (ShaherKord University). 10(4): 32-37. (In Persian).
- Shoghiyan, M., and A. Rozbahani. 2017. The effect of salicylic acid foliar application on morphological traits, yield and yield components of red bean under drought tension conditions. *Crop Physiology Journal*. 34(9): 131-147. (In Persian).
- Soltani, M., P. Moaveni, and H. Noori. 2013. The effect of foliar application of nanoparticles of titanium dioxide on yield and antioxidant enzyme activities in lentil (*Lens culinaris* Medik.). *Journal of Plant Ecophysiology Research*, Special Issue, 78-88. (In Persian)
- Sugio, A., R. Dreos, F. Aparicio, and A.J. Maule. 2009. The cytosolic protein response as a subcomponent of the wider heat shock response in *Arabidopsis*. *Plant Cell*. 21: 642-645

- Sunkar, R. 2010. Plant stress tolerance methods and protocols, Humana Press, Oklahoma.
- Wang, L.J., and S.H.H. Li. 2006. Salicylic acid induced heat or cold tolerance in relation to  $\text{Ca}^{2+}$  homeostasis and antioxidant system in young grape plants. *Plant Science*. 170: 685-694.
- Yang, F., F. Hong, W. You, C. Liu, F. Gao, C. Wu, and P. Yang. 2006. Influence of nanoanatase  $\text{TiO}_2$  on the nitrogen metabolism of growing spinach. *Biological Trace Element Research*. 110(2): 179-190
- Zheng, L., M. Su., C.H. Liu, C. Li, H. Huang, X. Wu, X. Liu, X. Yang., F. Gao, and F. Hong. 2007. Effects of nanoanatase  $\text{TiO}_2$  on photosynthesis of spinach chloroplasts under different light Illumination. *Biological Trace Element Research*. 119: 68–76.
- Zlatev, Z., and F.C. Lidon. 2012. An overview on drought induced changes in plant growth, water relations and photosynthesis. *Emirates Journal of Food and Agriculture*. 24: 57-72.

## Effect of Nano-TiO<sub>2</sub> and Salicylic Acid Foliar Application on some Biochemical Traits of Corn 704 Single Cross under Water Regimes

Faezeh Shargi<sup>1</sup>, and Ebrahim Khalilvand Behrouzyan<sup>2\*</sup>

Received: February 2019,      Revised: 10 May 2019,      Accepted: 14 May 2019

### Abstract

In order to investigate the effects of water deficit stress and nano-TiO<sub>2</sub> and salicylic acid foliar application on some biochemical traits of corn 704 single cross plant, an experiment was conducted in split plot factorial based on RCBD in three replications at the Research Station of the Islamic Azad University, Tabriz Branch, during growing seasons of 2017-2018. Treatments were water deficit stress in three levels contained: 50, 75 and 100% filed capacity (FC) as well as the factorial combination of nano-TiO<sub>2</sub> (n-TiO<sub>2</sub>) foliar application in three levels contains: non application (control), 0.01 and 0.03 and salicylic acid (SA) foliar application in two levels contain: non application and 0.5%. Result showed that 0.5% SA foliar application under 50% water deficit stress had the highest peroxidase, polyphenol oxidase and lowest malondialdehyde activity. Furthermore, 0.01% n-TiO<sub>2</sub> foliar application had the highest effect on peroxidase and lowest effect on malondialdehyde activity. Use and non-use condition of SA, 0.01% n-TiO<sub>2</sub> foliar application had the positive effect on polyphenol oxidase activity. Foliar application of 0.01% n-TiO<sub>2</sub> and 0.5% SA under water deficit stress had the highest effect on soluble carbohydrates and proline. Based on the results, the guaiacol peroxidase enzyme activity increased with increasing water deficit stress level, so that the most activity of this enzyme was observed in irrigation with 50 % filed capacity. Considering the role of the traits studied in cooperation with each other in preventing the production of active oxygen species and reducing the effects of water deficit stress, SA and n-TiO<sub>2</sub>, increasing the activity of enzyme peroxidase, polyphenol oxidase, soluble carbohydrates, Proline and in contrast to the reduction of malondialdehyde reduced the negative effects of water deficit stress. Since SA and n-TiO<sub>2</sub> had positive effects on the enzymes affecting plant physiology, the seed yield increased significantly compared to control and water deficiet conditions.

**Key words:** Guaiacol peroxidase, Peroxidase, Polyphenol oxidase, Proline, Soluble carbohydrates.

1- Msc. Department of Agronomy, Faculty of Agriculture, Tabriz Branch, Islamic Azad University, Tabriz, Iran.

2- Assistant Professor, Department of Agronomy, Faculty of Agriculture, Tabriz Branch, Islamic Azad University, Tabriz, Iran.

\*Corresponding Author: e.khalilvand@iaut.ac.ir

